

УДК 541.13+621.383

М.Б. Дергачева\*, Н.Н. Гуделева, К.А. Леонтьева, К.А. Уразов, Г.М. Хусурова

Институт органического катализа и электрохимии им. Д.В.Сокольского, Казахстан, г. Алматы

\*E-mail: m\_dergacheva@mail.ru

## **Нуклеация и рост наночастиц сульфида и теллурида кадмия при электроосаждении**

Методом хроноамперометрии изучена кинетика процесса нуклеации и роста электроосажденных нанокристаллов CdS и CdTe для тонкопленочных солнечных элементов. Проведено сопоставление экспериментальных данных с теоретическими моделями. Установлено, что в зависимости от условий электроосаждения, нуклеация и рост CdTe и CdS описываются закономерностями двумерного 2D или трехмерного 3D роста с мгновенной нуклеацией, осложненного последующей диффузией. В процессе электроосаждения сульфида кадмия на стеклоуглеродном электроде имеет место механизм 2D мгновенной нуклеации. Сульфид кадмия на электроде SnO<sub>2</sub>/стекло осаждается по механизму мгновенной нуклеации 3D типа. Нуклеация и рост CdTe на поверхности CdS является двумерным 2D ростом с мгновенной нуклеацией. Поверхность слоя CdS, нанесенного методом электроосаждения на подложку SnO<sub>2</sub>/стекло, представляет собой плотный слой ориентированных частиц с размером ~20 нм. Обнаружено наличие частиц с меньшими размерами ~8-20 нм.

**Ключевые слова:** нуклеация, кинетика кристаллизации, электрокристаллизация, теллурид кадмия, сульфид кадмия.

M.B. Dergacheva, N.N. Gudeleva, K.A. Leontyeva, K.A. Urazov, G.M. Khussurova  
**Nucleation and growth of cadmium sulfide and telluride nanoparticles**

The kinetics of nucleation process and growth of the electrodeposited CdS and CdTe nanocrystals for thin-film solar cells has been studied using chronoamperometry method. Comparison of experimental data to theoretical models is carried out. It is established that the nucleation and growth of CdTe and CdS, depending on electrodeposition conditions, is described by regularities of two-dimensional 2D or three-dimensional 3D growth with the instant nucleation complicated by the subsequent diffusion. In the electrodeposition of CdS on glassy-carbone electrode occurs two-dimensional 2D instant nucleation mechanism. Cadmium sulfide deposited on SnO<sub>2</sub>/glass electrode by three-dimensional 3D growth with the instant nucleation. Nucleation and growth of CdTe on the surface of CdS goes by two-dimensional 2D instant nucleation mechanism. The surface of CdS layer, deposited by electrodeposition method onto SnO<sub>2</sub>/glass substrate, represent a dense layer of oriented particles with size ~20 nm. Found out presence of particles with smaller sizes ~8-20 nm.

**Key words:** nucleation, crystallization kinetics, electro crystallization, cadmium telluride, cadmium sulfide.

М.Б. Дергачева, Н.Н. Гуделева, К.А. Леонтьева, К.А. Уразов, Г.М. Хусурова  
**Электротұндырыу кезінде кадмий сульфиді мен теллурид нанобөлшектерінің нуклеациясы мен өсуі**

Жұқа қабықты құн элементтері үшін электротұндырылған CdS және CdTe нанокристалдарының нуклеация мен өсу үрдісінің кинетикасы хроноамперометрия әдісімен зерттелді. Эксперименттік мағлұматтарды теориялық модельдермен салыстыру жүргізілді. Электротұндырыу шарттарына байланысты CdS және CdTe нуклеациясы мен өсуі кезекті диффузиямен қындылатылған шапшаң нуклеациямен екіншілік 2D немесе үшіншілік 3D өсу заңдылықтарымен өрнектелген көрсетілген. Кадмий сульфидін шынықөміртегі электродында электротұндырыу үрдісі кезінде 2D шапшаң нуклеация механизмі орын алады. SnO<sub>2</sub>/шыны электродында кадмий сульфиді 3D шапшаң нуклеация механизмі бойынша тұнады. CdS бетінде CdTe нуклеациясы мен өсуі 2D шапшаң нуклеация болып табылады. SnO<sub>2</sub>/шыны подложкалықтарына электротұндырыу әдісімен қапталған CdS қабатының беті тығыз орнатылған өлшемі ~20 нм болатын бөлшектерден тұрады. Өлшемі кіші ~8-20 нм болатын бөлшектер анықталды.

**Түйін сөздер:** нуклеация, кристаллизация кинетикасы, электрокристаллизация, кадмий теллуриді, кадмий сульфиді.

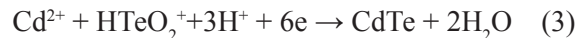
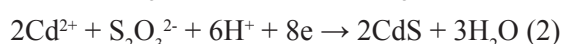
## Введение

Использование электрохимических процессов в ходе приготовления тонких пленок полупроводников солнечного качества позволяет получать соединения строго заданного состава, контролировать состояние поверхности изготавливаемых пленок, получать наноразмерные частицы, устранять поверхностные дефекты, вводить необходимые добавки, получать пленки заданной толщины, большой площади и сложной геометрической конфигурации, существенно удешевить процесс производства, сделать его более технологичным и экологически чистым [1-14].

Одним из приоритетных направлений развития нанотехнологий [1] является модифицирование поверхности электродов наноразмерными объектами (монослои, островковые пленки, квантовые точки, ямы и проводники, нанопроволоки, нанопалочки,nanoструктуры типа ядрооболочка), обладающими многими специфическими свойствами, не присущими объемным кристаллическим системам. Это обусловило повышенное внимание к изучению процессов электрокристаллизации и электрохимической нуклеации наноразмерных полупроводниковых соединений на инородных подложках.

Сульфиды и теллуриды кадмия - полупроводники, обладающие высокой фоточувствительностью и имеющие подходящую ширину запрещенной зоны, наиболее часто применяются в процессе изготовления высокоэффективных тонкопленочных солнечных элементов на основе CdTe, CdSe, CuInSe<sub>2</sub> и Cu(InGa)Se<sub>2</sub>. Электрохимическое осаждение позволяет создавать прочно связанные с поверхностью инородной подложки пленки CdS и CdTe заданной толщины, с частицами заданного размера и стехиометрического состава [2].

При создании гетероструктурного фотоэлемента p-CdTe/n-CdS для преобразования солнечного излучения в электрическую энергию широко используются гетеропереходы металл/полупроводник/металл, включающие CdS и CdTe, тонкие наноразмерные слои которых можно получить с помощью катодных реакций (1-3):



Одним из параметров, позволяющих существенно изменять электрофизические и оптические свойства электроосаждаемых CdS и CdTe, является потенциал катодного осаждения. На механизм нуклеации и роста CdS и CdTe при электроосаждении оказывают влияние природа подложки, величина потенциала электрода в процессе электрокристаллизации, время проведения процесса.

В данной работе исследован механизм электрокристаллизации и роста наноразмерных тонких пленок теллурида и сульфида кадмия.

## Эксперимент

Исследования кинетики процесса нуклеации и роста электроосажденных нанокристаллов CdS и CdTe для тонкопленочных солнечных элементов выполнены с помощью универсального потенциостата-гальваностата IPC-PRO фирмы Volta с компьютерной обработкой данных и при использовании потенциостата-гальваностата GillAC с программным обеспечением ACM Instruments Version 5.

Вольтамперометрические измерения проводили в стандартной термостатированной трехэлектродной ячейке с разделенными катодным и анодным пространствами. В качестве вспомогательного электрода использовалась платиновая спираль с площадью поверхности 1,5 см<sup>2</sup>. Электродом сравнения служил хлорсеребряный электрод (х.с.э.), относительно которого приведены все потенциалы.

Рабочими электродами для получения пленок CdS служила стеклоуглеродная пластина прямоугольной формы с видимой поверхностью 2,1 см<sup>2</sup> и электрод SnO<sub>2</sub>/стекло с площадью рабочей поверхности 2,9 см<sup>2</sup>. Перед проведением эксперимента поверхность рабочего стеклоуглеродного электрода подвергалась механической обработке с помощью абразивной бумаги или порошка Al<sub>2</sub>O<sub>3</sub>, затем промывалась дистиллированной водой. Электрод SnO<sub>2</sub>/стекло обезжиривали этанолом, промывали дистиллированной водой. Выбраны температура (60°C), потенциалы электроосаждения (-0,6 В для стеклоуглеродного электрода и -1,3 В для электрода SnO<sub>2</sub>/стекло). Использовали электролиты следующего состава: 0,3М CdSO<sub>4</sub> + 0,03М Na<sub>2</sub>S<sub>2</sub>O<sub>3</sub> с величи-

ной pH 2,00 в случае использования стеклоуглеродного электрода и 0,3M CdSO<sub>4</sub> + 0,3M Na<sub>2</sub>S<sub>2</sub>O<sub>3</sub> с величиной pH 5,15 при применении электрода SnO<sub>2</sub>/стекло.

Пленки CdTe формировали в широком интервале потенциалов от -0,5 ÷ -0,8В на CdS-электроде, нанесенном на подложки SnO<sub>2</sub>/стекло, имеющие два размера, с площадью видимой поверхности 2,5см<sup>2</sup> и 33,5 см<sup>2</sup>. В этом случае подложку стекло/SnO<sub>2</sub>/CdS-электрод готовили методом химического осаждения на стеклянные пластиинки, покрытые прозрачным проводящим слоем SnO<sub>2</sub> при 90°C из водного раствора состава: 0,14M CdSO<sub>4</sub>, 1,43M NH<sub>4</sub>OH и 0,14M NH<sub>2</sub>CSNH<sub>2</sub> [13]. Полученные тонкие пленки CdS имели проводимость n-типа. Электроосаждение CdTe проводили из сернокислых водных растворов, содержащих значительный избыток (в 1000 раз) катионных форм Cd(II), величина pH = 1,6. Электролит содержал 0,5M CdSO<sub>4</sub>, 5·10<sup>-4</sup>M K<sub>2</sub>TeO<sub>3</sub> и 0,06M H<sub>2</sub>SO<sub>4</sub>. Методика электроосаждения CdTe аналогична используемой в работе [14].

Для исследования начальной стадии электрокристаллизации полупроводниковых соединений CdS и CdTe использован хроноамперометрический метод.

## Результаты и обсуждение

Регистрация транзиентных кривых в процессе получения сульфида кадмия в потенциостатическом режиме дает возможность определения механизма нуклеации и роста полупроводникового соединения. Известно [1, 15-19], что число активных центров в значительной мере определяет форму начального участка транзиентной кривой (увеличение тока во времени в результате роста зародышей и их активной поверхности при кинетическом контроле) и области максимума (момент перекрывания полусферических диффузионных зон или зон омического падения напряжения, образующихся вокруг растущих поверхностей).

Увеличение тока во времени свидетельствует о зарождении и росте некоторого числа кристаллов. Последующее медленное уменьшение катод-

ного тока во времени до стационарного значения, при заданном потенциале, связано с процессами диффузии ионов к электролиту. Форма транзиентных кривых зависит от соотношения скоростей разряда ионов и их массопереноса. Эта зависимость соответствует уравнению [1, 17]:

$$I = \text{const} \cdot t^n \quad (4)$$

Константа в этом уравнении имеет некоторое различие для разных моделей нуклеации. Величина *n* позволяет определять тип нуклеации. Согласно [1, 17], для модели 2D-роста с мгновенной нуклеацией величина *n* равна единице, const представляет собой выражение:

$$K^1 = 2nF\pi(M/\rho)hN_0k^2 \quad n=1 \quad (5)$$

В случае модели 2D роста с прогрессивной нуклеацией величина *n* равна двум,

$$K_2 = nF\pi(M/\rho)hAN_0k^2 \quad n=2 \quad (6)$$

где N<sub>0</sub> – число начально растущих ядер на поверхности подложки, *k* – константа скорости для процесса роста (моль·см<sup>-2</sup>·сек<sup>-1</sup>), *h* – высота центра роста, *M* – молярная масса, *ρ* – плотность, *A* – константа скорости нуклеации

Если же механизм электрокристаллизации подчиняется 3D – модели, то величина *n* равна двум для мгновенной нуклеации и трем для прогрессивной нуклеации, const соответствует:

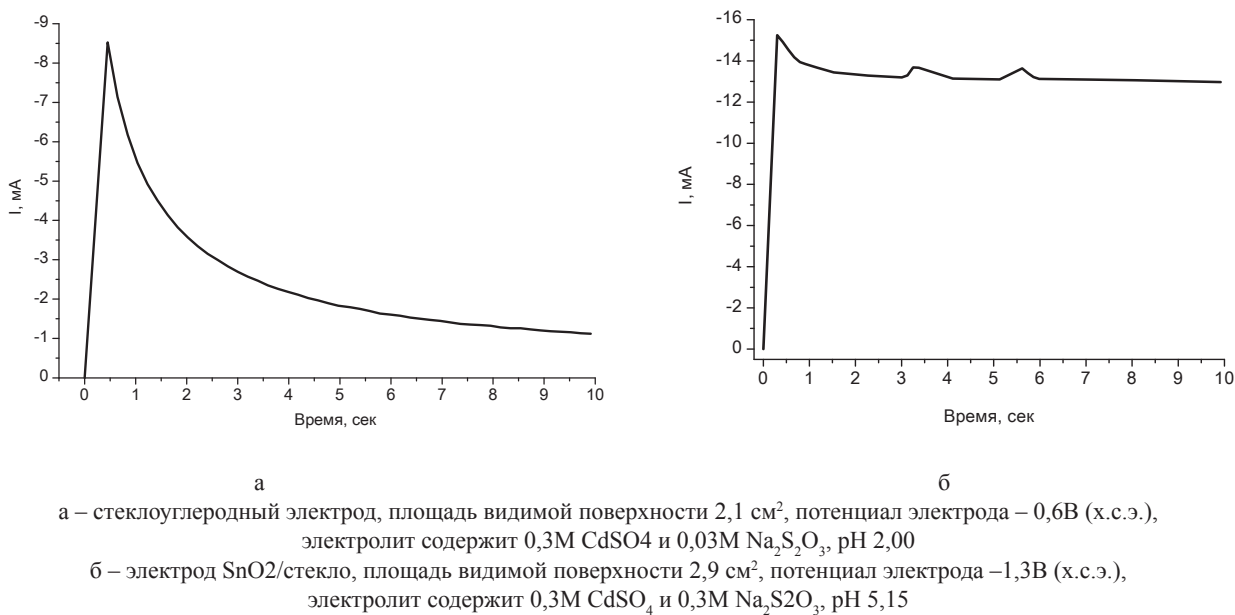
$$K_3 = 2nF\pi(M/\rho)^2N_0k^3 \quad n=2 \quad (7)$$

$$K_4 = nF\pi(M/\rho)^2AN_0k^3 \quad n=3 \quad (8)$$

Эти модели определяют тип нуклеации в первые секунды электроосаждения.

### Электроосаждение CdS на стеклоуглеродные и SnO<sub>2</sub>/стекло электроды

На рисунке 1 представлены кривые ток-время электроосаждения CdS на стеклоуглеродном электроде (а) и на электроде SnO<sub>2</sub>/стекло (б). Изображенные на рисунке 1 хроноамперограммы имеют форму, характерную для процессов формирования и роста зародышей новой фазы.



**Рисунок 1** – Потенциостатические транзиенты тока стеклоуглеродного электрода (а) и электрода  $\text{SnO}_2/\text{стекло}$  (б) при температуре  $60^\circ\text{C}$

Для выяснения механизма нуклеации (мгновенной или прогрессивной) проведена начальная диагностика, включающая сопоставление экспериментальных и теоретических транзиентов в безразмерных координатах. С этой целью экспериментальные и теоретические транзиенты были стандартизированы по соответствующим максимальным величинам тока ( $I_{\max}$ ) и времени ( $t_{\max}$ ) с использованием уравнения Коттrella:

$$t_m = \frac{1,2564}{N_0 \pi K D} \quad (9)$$

Величина теоретического максимума для случая мгновенной нуклеации равна:

$$I_{\max} = 0,6382 z F D c (K N_0)^{1/2} \quad (10)$$

Величина теоретического максимума для случая прогрессивной нуклеации:

$$t_{\max} = (4,6733 / A N_0 \pi K D)^{1/2} \quad (11)$$

и

$$I_{\max} = 0,4615 z F D^{3/4} c (K A N_0)^{1/4} \quad (12)$$

где  $D$  – коэффициент диффузии

На рисунке 2,а сопоставлены стандартизованные экспериментальные данные электро-

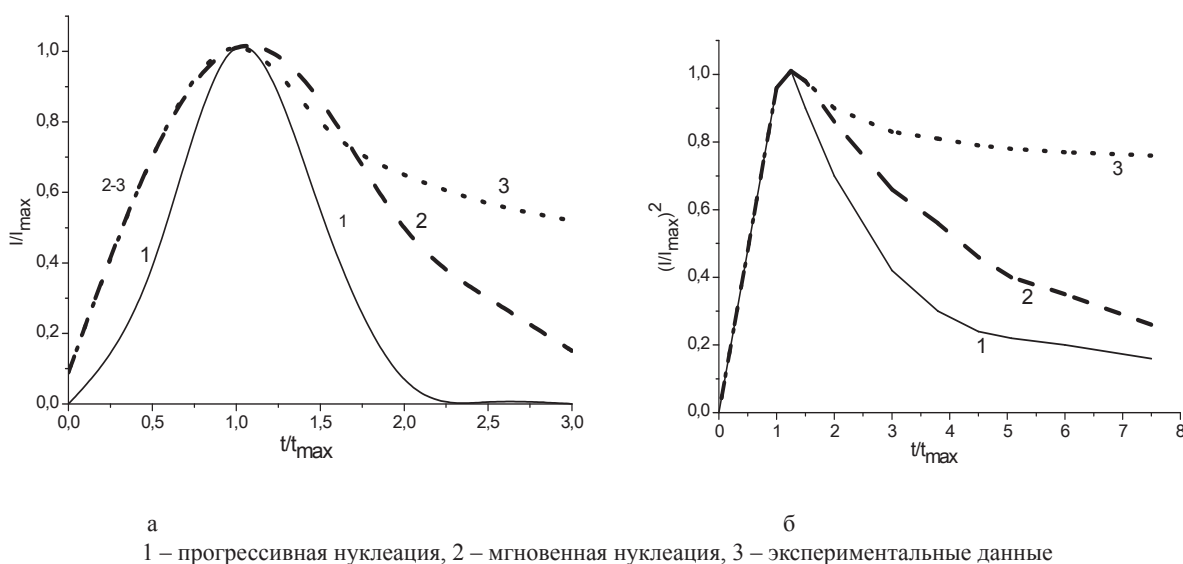
осаждения сульфида кадмия на стеклоуглеродную подложку и результаты теоретических расчетов с использованием уравнений (9-12) для мгновенной и прогрессивной нуклеации.

Анализ рисунка 2,а показывает, что в процессе электроосаждения сульфида кадмия на стеклоуглеродном электроде экспериментальные данные совпадают с расчетными по модели механизма 2D мгновенной нуклеации.

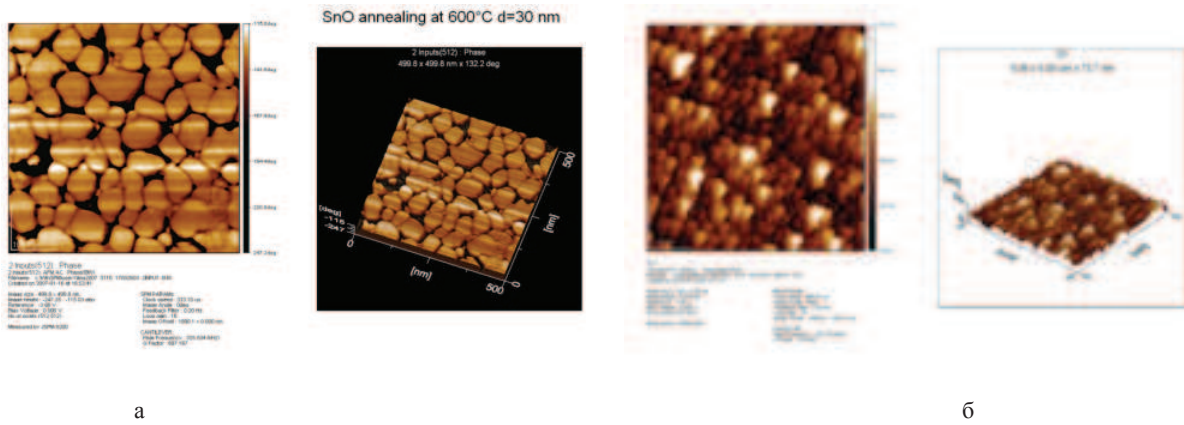
Анализ экспериментальных хроноамперограмм при электроосаждении  $\text{CdS}$  на электроде  $\text{SnO}_2/\text{стекло}$  (рисунок 1,б) свидетельствует о том, что осаждение сульфида кадмия соответствует трехмерному росту по механизму мгновенной нуклеации по 3D типу. Это связано с тем, что на таком электроде уже присутствуют центры нуклеации, и толщина пленки  $\text{SnO}_2$  составляет  $0,2 \text{ мкм}$ .

Таким образом, полученные данные свидетельствуют о влиянии природы подложки, потенциала электрода и состава электролита на механизм нуклеации и роста сульфида кадмия.

Анализ поверхностных свойств пленок  $\text{SnO}_2$  (рисунок 3,а), и пленок  $\text{CdS}$ , осажденных на подложку  $\text{SnO}_2/\text{стекло}$  (рисунок 3,б), выполнили с помощью атомного силового микроскопа JSPM-5200.



**Рисунок 2 – Сопоставление теоретических безразмерных величин ( $I/I_{\max}$ ) для осаждения CdS на стеклоуглеродную подложку (а) и  $(I/I_{\max})^2$  для осаждения CdS на  $\text{SnO}_2/\text{стекло}$  (б) относительно  $(t/t_{\max})$  для уравнений мгновенной и прогрессивной нуклеации CdS с экспериментальными данными из рисунка 1,а,б**



**Рисунок 3 – Микрофотографии пленки  $\text{SnO}_2$ , полученной ионно-лучевым осаждением на стекло (а), микрофотографии осадка CdS на  $\text{SnO}_2/\text{стекло}$  (б)**

Поверхность стекла (рисунок 3, а) равномерно покрыта мелкими частицами  $\text{SnO}_2$ . Самая мелкая частица  $\text{SnO}_2$  имеет диаметр 40,6 нм, ее высота равна 13,5 нм. Крупные частицы  $\text{SnO}_2$ , составленные из более мелких, встречаются редко, их максимальный диаметр не превышает 115 нм. Поверхность неоднородная. Минимальная величина шероховатости поверхности равна 6,6 нм. Средняя шероховатость составляет 41,4 нм. Коэффициент, характеризующий отношение площади поверхности исследуемого образца к площади идеальной поверхности, составляет 1,19. Поверхность слоя CdS, нанесенного методом электроосаждения (рисунок

3,б) на слой оксида олова, представляет плотный слой ориентированных частиц с размером ~20 нм. Важным оказался факт наличия частиц с меньшими размерами ~8–20 нм, равномерно распределенных по поверхности. Анализ поверхности подтверждает выводы об образовании 3D структуры осадков сульфида кадмия на  $\text{SnO}_2/\text{стекло}$ .

#### Электроосаждение CdTe на CdS/ $\text{SnO}_2/\text{стекло}$ электроды

Использование для преобразования солнечного излучения в электрическую энергию гетероструктурного фотоэлемента p-CdTe/n-CdS/

$\text{SnO}_2/\text{стекло}$  обусловило необходимость подробного изучения механизма нуклеации и роста  $\text{CdTe}$  на поверхности  $\text{CdS}$ -электрода.

Электроосаждение выполняли по методике [14] при постоянном потенциале электрода. Кинетику нуклеации и роста осадков теллурида кадмия, изучали хроноамперометрическим методом путем построения кривых зависимости тока от времени.

Ранее было показано, что в процессе электроосаждения  $\text{Cd}^{2+}$  восстанавливается на поверхности, предварительно покрытой теллуром, при потенциалах на 300 мВ более положительных, чем его стандартный потенциал по реакции (13). При этом образование монослоя  $\text{Te}$  на поверхности подложки не является необходимым, нуклеации  $\text{Te}$  достаточно для начала процесса образования  $\text{CdTe}$  [14,16]:



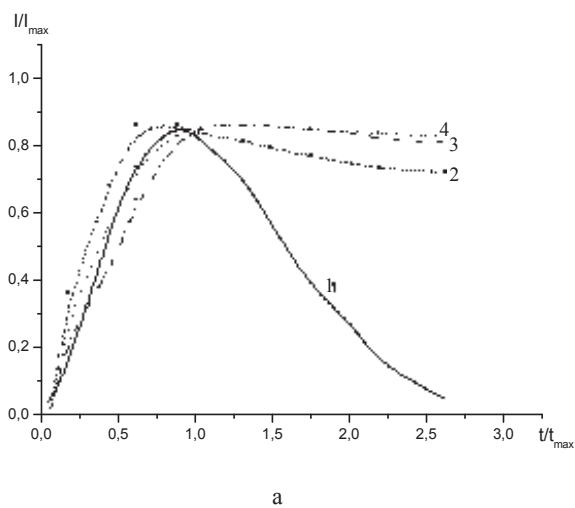
В первые секунды электроосаждения  $\text{CdTe}$  происходит мгновенный рост тока, который достигает максимальной величины, а затем пада-

ет. Минимальный ток, включающий зарядение двойного слоя, отсутствует.

Выявление возможности электрокристаллизации теллурида кадмия на сульфидкадмииевом электроде согласно механизмам 2D или 3D было осуществлено путем использования соответствующих моделей и построением зависимости  $I/I_{\max} - t/t_{\max}$  и  $(I/I_{\max})^2 - (t/t_{\max})$  для подложек различной площади.

Из экспериментальных данных и теоретических расчетов следует, что нуклеация и рост  $\text{CdTe}$  на поверхности  $\text{CdS}$  является двумерным 2D ростом с мгновенной нуклеацией. Восходящий участок  $I-t$  кривой может быть отнесен к модели мгновенной 2-D нуклеации/роста с  $t/t_{\max} = 0,5$ . В этой модели можно представить, что кадмий осаждается на периферии расширенных ядер теллура. При длительном времени электролиза ядра перекрываются, и появляющийся диффузионный контроль приводит к падению тока в зависимости от  $t^{1/2}$ .

На рисунке 4,а представлены зависимости, полученные для образцов с поверхностью электрода  $2,5 \text{ см}^2$ .



а – Площадь электрода  $2,5 \text{ см}^2$ ; 1 – модель мгновенной нуклеации; 2-4 – эксперимент: 2 - $E_{oc} = -0,55 \text{ В}$ ; 3 - $E_{oc} = -0,6 \text{ В}$ ; 4 - $E_{oc} = -0,7 \text{ В}$

б – Площадь электрода  $33,5 \text{ см}^2$ ; 1 – модель прогрессивной нуклеации; 2 – модель мгновенной нуклеации; 3 – экспериментальная кривая для  $E = -0,65 \text{ В}$

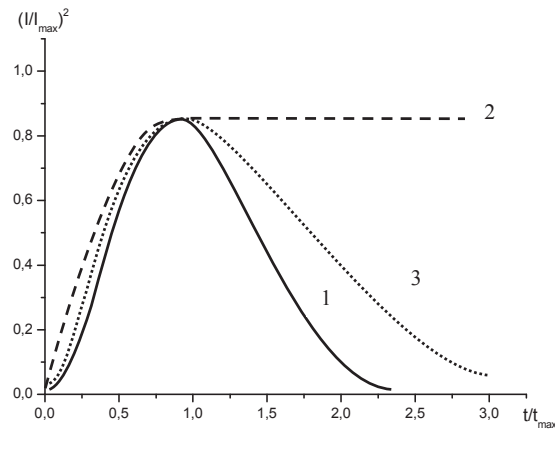


Рисунок 4 – Сопоставление теоретических безразмерных величин  $(I/I_{\max})^2$  относительно  $(t/t_{\max})$  для уравнений мгновенной и прогрессивной нуклеации  $\text{CdTe}$  на поверхности электрода  $\text{CdS}/\text{SnO}_2/\text{стекло}$  с экспериментальными данными

Аналогичные результаты по изучению зависимости тока электроосаждения от времени получены для электродов большой поверхности

(рисунок 4,б). Экспериментальная зависимость тока электроосаждения соответствует расчетной кривой согласно 2D модели мгновенной

нуклеации. Вначале, вплоть до  $t/t_{\max} = 0,5$ , экспериментальная кривая соответствует 2D модели мгновенной нуклеации, далее происходит ее отклонение вследствие диффузионных процессов, которые могут быть обусловлены как уменьшением количества ионов теллура вблизи электродного слоя, так и уменьшением проводимости

теллурида кадмия. Скорость нуклеации уменьшается с увеличением заполнения поверхности ad-атомами.

Билогарифмическая зависимость тока электроосаждения от времени  $\lg I - \lg t$  (рисунок 5) имеет наклон равный 1, что соответствует 2D нуклеации CdTe на поверхности CdS [11, 15].

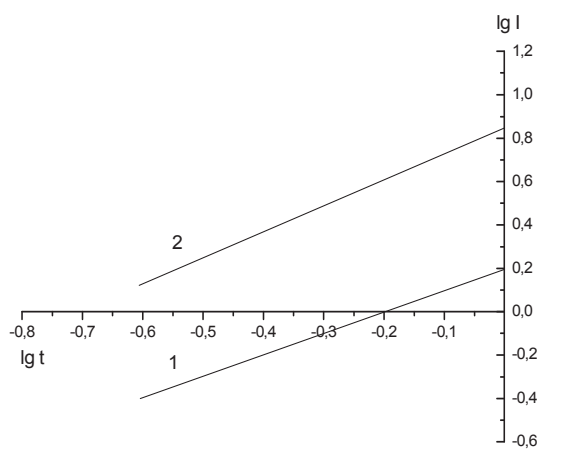


Рисунок 5 – Билогарифмическая зависимость тока от времени для подложек с различной площадью

Для определения лимитирующей стадии процесса электрокристаллизации, информацию о которой дает анализ зависимости тока от времени, были построены зависимости тока от  $t^2$  и  $t^{1/2}$ . Как известно, ток электроосаждения пропорционален  $t^2$  для условий замедленного

разряда, для диффузионного и омического контроля ток пропорционален  $t^{1/2}$  [1]. На графике  $I-t^2$  наблюдается прямая линия для первых секунд осаждения, соответствующая кинетическому контролю начальной стадии нуклеации CdTe (рисунок 6).

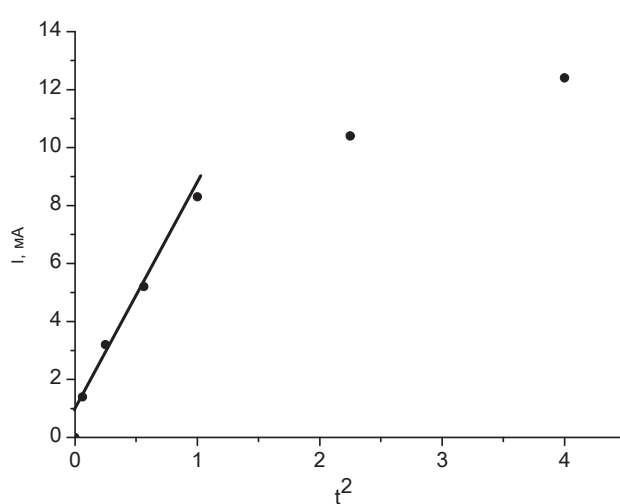
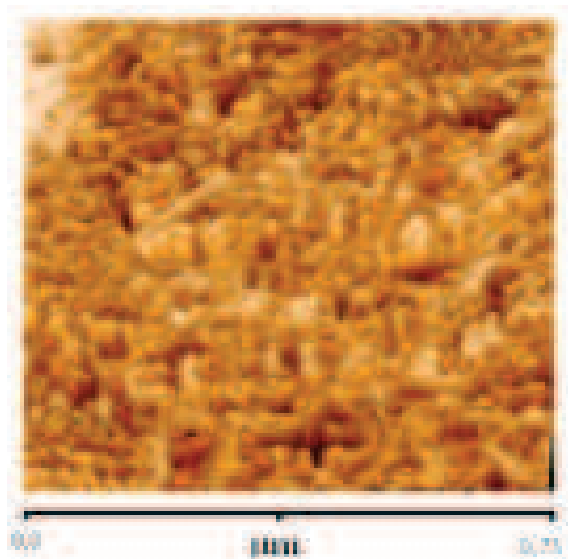


Рисунок 6 – Зависимость тока электроосаждения от времени  $t^2$ .  $E_{oc} = -0,6$  В,  $S = 2,5$  см<sup>2</sup>

Полученные экспериментальные данные делают возможным предположение, что процесс восстановления, происходящий благодаря образованию соединения  $\text{Cd}_{\text{ad}}\text{Te}$ , приводит к синтезу 2D структур, в которых координационное число как металла, так и халькогена в отношении друг к другу меньше, чем в кристаллах  $\text{CdTe}$ . Координационная насыщенность  $\text{Cd}_{\text{ad}}$  в 2D структурах достигается благодаря взаимодействию с

компонентами электролита и диполями воды. 2D-островки  $\text{Cd}_{\text{ad}}$ , образующиеся в потенциостатических условиях, срастаются со временем, и процесс сопровождается диффузией металла на периферию атомов теллура.

Изучение морфологии поверхностных свойств  $\text{CdTe}$  свидетельствует об образовании наноразмерных частиц, которые формируются в виде колончатых зерен (рисунок 7).



**Рисунок 7 – Микрофотография поверхности  $\text{CdTe}/\text{CdS}/\text{SnO}_2$  стекло, полученная с помощью атомного силового микроскопа JSPM-5200. Размер 750×750 нм**

## Заключение

Таким образом, проведение исследования кинетики процесса нуклеации и роста электроосажденных нанокристаллов  $\text{CdS}$  и  $\text{CdTe}$  для солнечных элементов методом хроноамперометрии позволило установить, что в зависимости условий электроосаждения, нуклеация и рост  $\text{CdTe}$  и  $\text{CdS}$  описываются закономерностями двуразмерного 2D или трехразмерного 3D роста с мгновенной нуклеацией, осложненной последующей диффузией.

В процессе электроосаждения сульфида кадмия на стеклоуглеродном электроде имеет место механизм 2D мгновенной нуклеации. Сульфид кадмия на электроде  $\text{SnO}_2/\text{стекло}$  электроосаждается по механизму мгновенной нуклеации, по 3D типу. Нуклеация и рост  $\text{CdTe}$  на поверхности  $\text{CdS}$  является двуразмерным 2D ростом с мгновенной нуклеацией.

В результате электролиза возможно формирование наноразмерных частиц сульфида и теллурида кадмия.

## Литература

- 1 Дамаскин Б.Б., Петрий О.А., Цирлина Г.А. Электрохимия. – М.: Колос, 2006. - 672 с.
- 2 Дергачева М.Б. Электроосаждение полупроводников// Вестн.КазНУ. – 2007. – №2(46). – С.128-139.
- 3 Дергачева М.Б., Гуделева Н.Н., Бекмухаметова Ф.С., Салаева З.П. Электрохимическое поведение  $\text{CdS}/\text{Cd}$  электрода в растворах электролитов, содержащих сульфид-ионы //Журн. общ. Химии. – 1999. – Т. 69, № 10. – С.1615–1619.
- 4 Дергачева М.Б., Чайкин В.В., Пантилееева Е.П. Электроосаждение соединения  $\text{CuSe}_x$  на углеродсодержащих электродах //Журн. Прикл. Химии. – 2004. – Т. 77, № 8. – С. 1289–1294.
- 5 Дергачева М.Б., Чайкин В.В. Электроосаждение полупроводниковых пленок  $\text{CuInSe}_2$  на стеклоуглеродном электроде из сернокислых электролитов //Журн. Прикл. Химии. – 2008. – Т. 81, № 4. – С. 576–579.

- 6 Дергачева М.Б., Уразов К.А., Чайкин В.В. Получение пленочных полупроводников состава  $\text{CuIn}_x\text{Ga}_{1-x}\text{Se}_2$  методом электроосаждения // Сб. Докл. VI Международного Беремжановского съезда по химии и хим. технологии. - Караганда, 2008. – С.234-238.
- 7 Дергачева М.Б., Уразов К.А., Пенькова Н.В., Гуделева Н.Н. Электроосаждение полупроводниковых пленок  $\text{CuInSe}_2$  на молибденовом электроде // Журн. Прикл. Химии. – 2010. – Т. 83, № 4. – С.601–605.
- 8 Дергачева М.Б., Пенькова Н.В., Ким И.Э. Электроосаждение теллурида кадмия из электролитов на основе этиленгликоля // Журн. Прикл. Химии. – 2010. Т. 83, № 3. – С.431–434.
- 9 Дергачева М.Б., Маева К.А., Гуделева Н.Н., Уразов К.А., Григорьева В.П. Влияние освещения на электрохимическое осаждение селена (IV) // Изв. НАН РК. Серия химии и технологии. – 2012, № 5. – С.54–61.
- 10 M.B. Dergacheva, K.A. Urazov, K.A. Mit, K.A. Mayeva. AFM studies of ZnS thin films produced by electrodeposition // The 3-nd International Symposium on Nanotechnology, Energy and Space. – Almaty, 2013. – P.60-61.
- 11 Dergacheva M.B., Mayeva K.A., Mit K.A., Urazov K.A., Khussurova G.M. The investigation of the surface of CdS films, prepared by electrodeposition in galvanostatic mode// The 3-nd International Symposium on Nanotechnology, Energy and Space. – Almaty, 2013. – P.62-63.
- 12 Дергачева М.Б., Уразов К.А., Мить К.А., Гуделева Н.Н., Григорьева В.П. Состав и морфология поверхности пленок  $\text{CuInSe}_2$ , электроосажденных на молибдене//Физика и химия обр. матер. – 2013, №4. – С.39-44.
- 13 Дергачева М.Б., Гуделева Н.Н., Пенькова Н.В., Чайкин В.В., Малахов В.А., Комашко Л.В., Григорьева В.П. Метод химического осаждения тонких пленок CdS на подложки  $\text{SnO}_2$ /стекло при изготовлении тонкопленочных фотоэлементов//Изв. НАН РК. Сер. Хим. – 2007, № 3. – С. 55-62.
- 14 Дергачева М.Б., Гуделева Н.Н., Пенькова Н.В., Хусурова Г.М., Матакова Р.Н., Григорьева В.П. Электроосаждение CdTe на пленочном CdS электроде. II. Электрохимические процессы при совместном восстановлении ионов Cd(II) и Te(IV)//Изв. НАН РК. Сер. Хим. – 2005, № 3. – С. 36-45.
- 15 Руднев А.В., Запрянова Т., Молодкина Е.Б., Данилов А.И., Полукаров Ю.М. Начальные стадии электрокристаллизации меди на поликристаллической платине и стеклоуглероде в присутствии ацетонитрила // Электрохимия. – 2008. – Т. 44, № 7. – С. 906-913.
- 16 Рабчинский С. М., Багаев С. И., Стрельцов Е. А. Атомные слои кадмия на Тe-электродах // Электрохимия. – 2006. – Т. 42, № 8. – С.916-923.
- 17 Mori E., Rajeshwar R. The kinetics of electrocrystallization of tellurium and cadmium telluride at the glassy carbon surface // J. Electroanal. Chem. – 1989. – Vol. 258. – P. 415-429.
- 18 Valderrama R.C., Miranda-Hern'andaz M., Sebastian P.J., Ocampo A.L. Electrodeposition of indium onto Mo/Cu for the deposition of Cu(In,Ga)Se<sub>2</sub> thin films // Electrochim. Acta. – 2008.- Vol. 53. – P. 3714- 3721.
- 19 Scharifker B.R., Mostany J. Three-dimensional nucleation with diffusion controlled growth. Part I. Number density of active sites and nucleation rates per site // J. Electroanal. Chem. – 1984. – Vol.177, № 1-2. – P.13 -23.

#### References

- 1 Damaskin B.B., Petriy O.A., Tsirlina G.A. Electrokhimiya. - M.: Kolos, 2006. 672 p. (in Russ.)
- 2 Dergacheva M.B. Electrodeposition of semiconductors. [ElectroElektroosajdenie poluprovodnikov]. Vestnik KazNU. Ser. Khim - KazNU Bulletin.Chem.ser. 2007. 2(46). P. 128-139. (in Russ.)
- 3 Dergacheva M.B., Gudeleva N.N., Bekmukhametova F.S., Salaeva Z.P. Electrochemical behavior of CdS / Cd electrode in an electrolyte solution containing sulfide ions. [Elektrokhimicheskoe povedenie CdS/Cd elektroda v rastvorakh elektrolitov, soderzhashchikh sul'fid-ioni] Jurn. obshch. Khimii. 1999. 69 (10). P.1615–1619. (in Russ.)
- 4 Dergacheva M.B., Chaikin V.V., Pantileeva E.P. Electrochemical behavior of CdS / Cd electrode in an electrolyte solution containing sulfide ions. [Elektroosazhdennie soedineniya CuSe<sub>x</sub> na uglerodsoderzhashchikh elektrodakh]. Jurn. Appl.chem. – Jurn. prikl. khimii. 2004. 77(8). P. 1289–1294. (in Russ.)
- 5 Dergacheva M.B., Chaikin V.V. Electrodeposition of CuInSe<sub>2</sub> semiconductor films on glassy carbon electrode from sulfuric acid electrolytes. [Elektroosazhdennie poluprovodnikovykh plenok CuInSe<sub>2</sub> na steklouglugerodnom electrode iz sernokislykh elektrolitov]. Jurn. Appl.chem. – Jurn. prikl. Khimii. 2008. 81(4). P. 576–579. (in Russ.)
- 6 Dergacheva M.B., Urazov K.A., Chaikin V.V. Poluchenie plenochnykh poluprovodnikov sostava  $\text{CuIn}_x\text{Ga}_{1-x}\text{Se}_2$  metodom elektroosajdeniya. Sb. Dokl. VI Mezhdunarodnogo Beremzhanovskogo s'ezda po khimii i khim. tekhnologii. Karaganda. 2008. P. 234-238. (in Russ.)
- 7 Dergacheva M.B., Urazov K.A., Pen'kova N.V., Gudeleva N.N. Electrodeposition of CuInSe<sub>2</sub> semiconductor films on glassy carbon electrode from sulfuric acid electrolytes. [Elektroosazhdennie oluprovodnikovykh plenok CuInSe<sub>2</sub> na molibdenovom electrode]. Jurn. Appl.chem. – Jurn. prikl. Khimii. 2010. 83(4). P.601–605. (in Russ.)
- 8 Dergacheva M.B., Pen'kova N.V., Kim I.E. Electrodeposition of cadmium telluride of electrolytes based on ethylene glycol. [Elektroosazhdennie tellurida kadmiya iz elektrolitov na osnove etilenglikolya. Jurn. Appl.chem. – Jurn. prikl. Khimii. 2010. 83(3). P.431–434. (in Russ.)
- 9 Dergacheva M.B., Mayeva K.A., Gudeleva N.N., Urazov K.A., Grigir'eva V.P. [Vliyanie osveshcheniya na elektrokhimicheskoe osazhdennie selena (IV)]. Izv.NAN RK. Seriya khim. I khim. tekhnol. 2012, 5. P. 54–61. (in Russ.)
- 10 Dergacheva M.B., Urazov K.A., Mit K.A., Mayeva K.A. AFM studies of ZnS thin films produced by electrodeposition. The 3-nd International Symposium on Nanotechnology, Energy and Space. Almaty, 2013. P.60-61. (in Eng.)

- 11 Dergacheva M.B., Mayeva K.A., Mit K.A., Urazov K.A., Khussurova G.M. The investigation of the surface of CdS films, prepared by electrodeposition in galvanostatic mode. The 3-rd International Symposium on Nanotechnology, Energy and Space. Almaty, 2013. P.62-63. (in Eng.)
- 12 Dergacheva M.B., Urazov K.A., Mit K.A., Gudeleva N.N., Grigir'eva V.P. /Sostav I morfologiya poverkhnosti plenok CuInSe<sub>2</sub>, elektroosazhdennykh na molibdene/ Fizika I khimiya obr. mater. 2013, no 4. P. 39-44. (in Russ.)
- 13 Dergacheva M.B., Gudeleva N.N., Pen'kova N.V., Chaikin V.V. Malakhov V.A., Komashko L.V., Grigir'eva V.P. /Metod khimicheskogo osazhdeleniya tonkih plenok CdS na podlozhki SnO<sub>2</sub>/steklo pri izgotovlenii tonkoplenochnikh aotoelementov/. Izv. NAN RK. Seriya khim. I khim. tekhnol. 2007, no 3. P. 55-62. (in Russ.)
- 14 Dergacheva M.B., Gudeleva N.N., Pen'kova N.V., Khussurova G.M., Matakova R.N., Grigir'eva V.P. Elektroosajdenie CdTe na plenochnom CdS electrode. II. /Elektrokhimicheskie processi pri sovmestnom vosstanovlenii ionov Cd(II) i Te(IV) /. Izv. NAN RK. Seriya khim. 2005, no 3. S. 36-45. (in Russ.)
- 15 Rudnev A.V., Zapryanova T., Molodkina E.B., Danilov A.I., Polukarov Yu.M. /Nachal'nye stadia elektrokristallizatsii medi na polikristallicheskoy platine I steklouglereode v prisutstvii atsetonitrila/. Elektrokhimiya – Electrochemistry. 2008. 44( 7). P. 906-913. (in Russ.)
- 16 Rabchinskiy S.M., Bagaev S.I., Strel'tsov E.A. /Atomnye sloi kadmiya na Te-elektrodakh/. Elektrokhimiya – Electrochemistry. 2006. 42(8). SC. 916-923. (in Russ.)
- 17 Mori E., Rajeshwar R. The kinetics of electrocrystallization of tellurium and cadmium telluride at the glassy carbon surface. *J. Electroanal. Chem.* 1989. 258. P. 415-429. (in Eng.)
- 18 Valderrama R.C., Miranda-Hernández M., Sebastian P.J., Ocampo A.L. Electrodeposition of indium onto Mo/Cu for the deposition of Cu(In,Ga)Se<sub>2</sub> thin films. *Electrochim. Acta*. 2008. 53. P. 3714- 3721. (in Eng.)
- 19 Scharifker B.R., Mostany J. Three-dimensional nucleation with diffusion controlled growth. Part I. Number density of active sites and nucleation rates per site. *J. Electroanal. Chem.* 1984. 177( 1-2). P.13 -23. (in Eng.)